

반대칭빗사궤점탄성다층복합판의 변위해석에 대한 연구

송성관, 김혁남

선행연구[2]에서는 섬유강화점탄성직교다층복합판에 면내 및 면외힘이 작용할 때의 정력학적변위해석을 취급하고 선행연구[1]에서는 대칭, 반대칭직교다층복합판의 동력학적 변위해석을 취급하였다. 그러나 반대칭빗사궤점탄성다층복합판이 탄성지반우에서 면내 및 면외힘을 받을 때의 변위해석은 취급하지 못하였다.

론문에서는 탄성지반우에 있는 반대칭빗사궤점탄성다층복합판에 면내 및 면외힘이 작용할 때의 정력학적변위해석에 대하여 고찰하였다.

1. 기본관계식

탄성지반우에 있는 반대칭빗사궤점탄성다층복합판에 면내 및 면외힘이 동시에 작용할 때 기본관계식을 고찰하자. 여기서 판재료는 유전형점탄성재료이다.

반대칭빗사궤점탄성다층복합판에서 당김억세기, 결합억세기, 구부림억세기들가운데서 다음의 억세기들은 령이 된다.[1]

$$A_{16}, A_{26}, B_{11}, B_{22}, B_{12}, B_{66}, D_{16}, D_{26}$$

이 경우에 변위방정식은 다음과 같이 얻어진다.

$$\left. \begin{aligned} \bar{A}_{11} \frac{\partial^2 u_0}{\partial x^2} + \bar{A}_{66} \frac{\partial^2 u_0}{\partial y^2} + (\bar{A}_{12} + \bar{A}_{66}) \frac{\partial^2 v_0}{\partial x \partial y} - 3\bar{B}_{16} \frac{\partial^3 w}{\partial x^2 \partial y} - \bar{B}_{26} \frac{\partial^3 w}{\partial y^3} &= 0 \\ (\bar{A}_{12} + \bar{A}_{66}) \frac{\partial^2 u_0}{\partial x \partial y} + \bar{A}_{66} \frac{\partial^2 v_0}{\partial x^2} + \bar{A}_{22} \frac{\partial^2 v_0}{\partial y^2} - \bar{B}_{16} \frac{\partial^3 w}{\partial x^3} - 3\bar{B}_{26} \frac{\partial^3 w}{\partial x \partial y^2} &= 0 \\ \bar{D}_{11} \frac{\partial^4 w}{\partial x^4} + \bar{D}_{22} \frac{\partial^4 w}{\partial y^4} + 2(\bar{D}_{12} + 2\bar{D}_{66}) \frac{\partial^4 w}{\partial x^2 \partial y^2} - \bar{B}_{16} \left(3 \frac{\partial^3 u_0}{\partial x^2 \partial y} + \frac{\partial^3 v_0}{\partial x^3} \right) - \\ - \bar{B}_{26} \left(\frac{\partial^3 u_0}{\partial y^3} + 3 \frac{\partial^3 v_0}{\partial x \partial y^2} \right) + N \frac{\partial^2 w}{\partial x^2} + q - cw &= 0 \end{aligned} \right\} \quad (1)$$

여기서 $A_{ij}^*, B_{ij}^*, D_{ij}^*$ 은 다음과 같다.

$$\left. \begin{aligned} (A_{ij}^*, B_{ij}^*, D_{ij}^*) &= \sum_{k=1}^r \left[(z_k - z_{k-1}), \frac{(z_k^2 - z_{k-1}^2)}{2}, \frac{(z_k^3 - z_{k-1}^3)}{3} \right] \tilde{Q}_{ij}^{*(k)} \\ \tilde{Q}_{ij}^{*(k)} &= \bar{Q}_{ij}^{(k)} (1 - \Gamma_{ij}^{*(k)}) \end{aligned} \right\} \quad (2)$$

2. 풀 이 방 법

변위방정식 (1)의 변위성분을 다음과 같이 구하자.

$$\left. \begin{aligned} u_0 &= \sum_{m=1}^{\infty} \sum_{n=1}^{\infty} U_{mn}(t) \sin \frac{m\pi x}{a} \cos \frac{n\pi y}{b} \\ v_0 &= \sum_{m=1}^{\infty} \sum_{n=1}^{\infty} V_{mn}(t) \cos \frac{m\pi x}{a} \sin \frac{n\pi y}{b} \\ w &= \sum_{m=1}^{\infty} \sum_{n=1}^{\infty} \psi_{mn}(t) \sin \frac{m\pi x}{a} \sin \frac{n\pi y}{b} \end{aligned} \right\} \quad (3)$$

식 (3)을 식 (1)에 대입하고 정돈한 다음 라플라스변환하면 다음의 식이 얻어진다.

$$\left. \begin{aligned} T_{11}^* U_{mn}^* + T_{12}^* V_{mn}^* + T_{13}^* \psi_{mn}^* &= 0 \\ T_{12}^* U_{mn}^* + T_{22}^* V_{mn}^* + T_{23}^* \psi_{mn}^* &= 0 \\ T_{13}^* U_{mn}^* + T_{23}^* V_{mn}^* + T_{33}^* \psi_{mn}^* &= q_{mn}^* \end{aligned} \right\} \quad (4)$$

이 식에서 T_{ij}^* 은 다음과 같이 표시된다.

$$\begin{aligned} T_{11}^* &= A_{11}^* \left(\frac{m\pi}{a} \right)^2 + A_{66}^* \left(\frac{n\pi}{b} \right)^2, \quad T_{12}^* = (A_{12}^* + A_{66}^*) \left(\frac{m\pi}{a} \right) \left(\frac{n\pi}{b} \right) \\ T_{13}^* &= -3B_{16}^* \left(\frac{m\pi}{a} \right)^2 \left(\frac{n\pi}{b} \right) - B_{26}^* \left(\frac{n\pi}{b} \right)^3 \\ T_{22}^* &= A_{22}^* \left(\frac{n\pi}{b} \right)^2 + A_{66}^* \left(\frac{m\pi}{a} \right)^2, \quad T_{23}^* = -3B_{26}^* \left(\frac{m\pi}{a} \right) \left(\frac{n\pi}{b} \right) - B_{16}^* \left(\frac{m\pi}{a} \right)^3 \\ T_{33}^* &= D_{11}^* \left[\left(\frac{m\pi}{a} \right)^4 + \left(\frac{n\pi}{b} \right)^4 \right] + 2(D_{12}^* + 2D_{66}^*) \left(\frac{m\pi}{a} \right)^2 \left(\frac{n\pi}{b} \right)^2 + c + \left(\frac{m\pi}{a} \right)^2 N \end{aligned} \quad (5)$$

여기서 역세기행렬의 라플라스변환은 반대칭직교다층복합판에서와 같이 구할수 있다.

반대칭직교복합판에서와 같은 방법으로 런립방정식의 풀이를 구하면 U_{mn}^* , V_{mn}^* , ψ_{mn}^* 을 구할수 있다. 따라서 ψ_{mn}^* 은 다음과 같이 쓸수 있다.

$$\psi_{mn}^* = \frac{q_{mn}^* (T_{11}^* T_{22}^* - T_{12}^{*2})}{-T_{13}^{*2} T_{22}^* + 2T_{12}^* T_{13}^* T_{23}^* - T_{11}^* T_{23}^{*2} + T_{33}^* (T_{11}^* T_{22}^* - T_{12}^{*2})} \quad (6)$$

이 식을 다시 역변환하여 식 (3)에 넣으면 z 축방향의 변위를 완전히 결정할수 있다.

3. 계 산 실 례

점탄성판은 유리/에폭시복합재료이며 기하학적 및 력학적특성자료가 다음과 같이 주어졌다고 하자.

$$a = 1\text{m}, b = 0.5\text{m}, h = 0.04\text{m}, q = 0.5\text{MPa}, N = 0, 40, 120, 200, 280\text{kN/m}, c = 70\text{kN/m}^3,$$

$$E_1 = 35\text{GPa}, E_2 = 8\text{GPa}, \nu_{12} = 0.26, G_{12} = 4\text{GPa}, \Gamma_{11} = 0, \Gamma_{22} = 0.04e^{-0.1t}, \Gamma_{12} = 0.01e^{-0.1t},$$

$$\Gamma_{66} = 0.06e^{-0.5t}, r = 4, h_1 = h_2 = h_3 = h_4 = 0.01\text{m}$$

복합판의 배치는 $[-45/45/-45/45]$ 이며 기하학적특성량들은 다음의 표와 같다.

표. 복합판의 기하학적특성량

층번호(k)	층방향(θ)	z_k / m	z_{k-1} / m	$(z_k^2 - z_{k-1}^2) / \text{m}^2$	$(z_k^3 - z_{k-1}^3) / \text{m}^3$
1	-45°	-0.01	-0.02	-3×10^{-4}	7×10^{-6}
2	45°	0	-0.01	-1×10^{-4}	1×10^{-6}
3	-45°	0.01	0	1×10^{-4}	1×10^{-6}
4	45°	0.02	0.01	3×10^{-4}	7×10^{-6}

변환된 환산역세기는 다음과 같다.

$$k=1, 3: \bar{Q}_{11} = Q_{11}, \bar{Q}_{12} = Q_{12}, \bar{Q}_{22} = Q_{22}, \bar{Q}_{66} = Q_{66}$$

$$k=2, 4: \bar{Q}_{11} = Q_{22}, \bar{Q}_{12} = Q_{12}, \bar{Q}_{22} = Q_{11}, \bar{Q}_{66} = Q_{66}$$

식 (2)에 의하여 $A_{ij}^*, B_{ij}^*, D_{ij}^*$ 은 다음과 같이 얻어진다.

$$A_{11}^* = \left(114.9 - \frac{0.084}{s+0.1} \right) \times 10^7, \quad A_{66}^* = \left(16 - \frac{0.96}{s+0.5} \right) \times 10^7$$

$$A_{12}^* = \left(8.4 - \frac{0.084}{s+0.1} \right) \times 10^7, \quad A_{22}^* = \left(60.7 - \frac{1.008}{s+0.1} \right) \times 10^7$$

$$B_{16}^* = \left(-135.5 - \frac{1.68}{s+0.1} \right) \times 10^4, \quad B_{26}^* = \left(135.5 + \frac{1.68}{s+0.1} \right) \times 10^4$$

$$B_{12}^* = B_{66}^* = 0, \quad D_{11}^* = \left(180.3 - \frac{0.112}{s+0.1} \right) \times 10^3$$

$$D_{22}^* = \left(53.83 - \frac{1.68}{s+0.1} \right) \times 10^3, \quad D_{12}^* = \left(11.2 - \frac{0.112}{s+0.1} \right) \times 10^3$$

$$D_{66}^* = \left(21.33 - \frac{1.28}{s+0.5} \right) \times 10^3$$

위의 식들을 식 (5)에 대입하면 T_{ij}^* 이 얻어지고 그것을 식 (6)에 대입하고 라플라스 역변환하면 ψ_{11} 은 다음과 같다.

$$\begin{aligned} \psi_{11} = & 0.007 \ 67 - 0.001 \ 446 e^{0.075 \ 2t} - 0.000 \ 243 e^{0.086 \ 9t} - \\ & - 0.000 \ 000 \ 042 e^{-0.098t} - 0.000 \ 005 e^{-0.477 \ 7t} - 0.000 \ 15 e^{-0.486 \ 4t} \end{aligned}$$

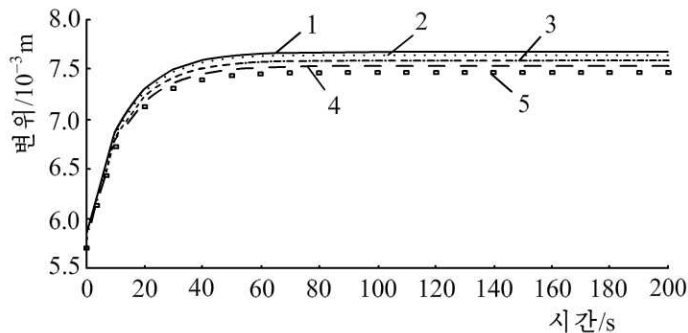


그림. 반대칭빛사검점탄성다층복합판의 정력학적변위
1-5는 각각 0, 40, 120, 200, 280kN인 경우

이 식에서와 같이 탄성변위가 초기 5.83mm로부터 최종적으로 7.67mm까지 증가하는데 점성으로 인하여 31% 증가한다.

그림에는 면내힘의 크기를 변화시키면서 반대칭빗사꺾점탄성다층복합판의 정력학적 변위를 보여주었다.

맺 는 말

반대칭빗사꺾점탄성다층복합판에 면내힘과 면외힘이 작용할 때 정력학적변위는 시간에 따라 점차 증가하며 일정한 크기로 수렴한다는것을 알수 있으며 면내힘과 면외힘의 크기에 관계된다는것을 보여준다.

참 고 문 헌

- [1] 김일성 종합대학학보 수학, 65, 1, 132, 주체108(2019).
- [2] 리은경 등; 기계공학, 2, 4, 주체107(2018).
- [3] G. A. Martynenko; Mechanics and Mechanical Engineering, 21, 2, 389, 2017.

주체109(2020)년 12월 5일 원고접수

Displacement Analysis of Antisymmetric Angly-ply Viscoelastic Laminates

Song Song Gwan, Kim Hyok Nam

This paper represents a method to find displacement of antisymmetric angly-ply viscoelastic laminates subjected to in-plane and out-plane loads.

We derive the displacement equation, find solutions and verify the solution accuracy through an example.

Keyword: antisymmetric angly-ply viscoelastic laminates